

05.2

© 1990

О ВОЗМОЖНОСТИ РЕГУЛИРОВАНИЯ УСЛОВИЙ
ТЕРМОМАГНИТНОЙ ЗАПИСИ В БЛИЗИ ТЕМПЕРАТУРЫ
КОМПЕНСАЦИИ В НЕОДНОРОДНЫХ
ФЕРРИМАГНИТНЫХ ПЛЕНКАХ

Б.Н. Филиппов, Г.А. Шматов

Одноосные ферримагнитные пленки (ОФП) состава „редкоземельный металл–переходный металл” (РЗМ–ПМ) с большой перпендикулярной анизотропией широко используются в качестве рабочих сред для записи информации в магнитооптических (МО) запоминающих устройствах [1]. Известно, что если температура компенсации (T_K) ОФП порядка комнатной, то термомагнитная запись осуществляется посредством нагрева лучом лазера участка пленки, находящейся в постоянном однородном магнитном поле H . С ростом температуры выше T_K коэрцитивная сила H_C материала резко уменьшается, и величина H оказывается достаточной для перемагничивания нагретого участка ОФП. При остывании перемагниченной области происходит увеличение H_C , и образовавшийся в пленке домен стабилизируется. Считывание информации в ОФП толщиной порядка 0.1 мкм осуществляется с помощью эффекта Керра [1].

Использование слоистых пленок позволяет улучшить некоторые оптические характеристики МО устройств (увеличить угол керровского вращения, отношение „сигнал/шум”), что имеет важное значение для повышения надежности считывания информации [1–2]. Согласно [3], наличие неоднородности магнитных параметров пленки вдоль нормали к ее поверхности (ось z) приводит к существенному уменьшению поля перемагничивания H_H локального участка пленки. Следует ожидать, что и температурные зависимости $H_H(T)$ для неоднородных ОФП, определяющие условия термомагнитной записи, будут существенно отличаться от соответствующих зависимостей для однослойной пленки.

Пусть имеется двухслойная обменносвязанная система, один слой которой толщиной D_1 представляет собой одноосный ферримагнетик, ось легкого намагничивания (ОЛН) которого перпендикулярна плоскости поверхности пленки. Этот слой является доменосодержащим (информационным) слоем МО пленки. При этом $K_u = K_1 > 0$, где K_u – константа одноосной магнитной анизотропии. Во втором слое толщиной D_2 ОЛН может быть либо перпендикулярной, либо параллельной оси z , что определяется знаком константы K_u . Кроме того, в слое $0 \leq z \leq D_2$ (начало координат находится на границе раздела слоев) может существовать переходная область толщиной D_0 , в которой константа анизотропии непрерывно меня-

ется от значения K_1 , до значения K_2 , причем $D_2 = D_0 + D_2^*$, D_2^* - толщина области, в которой $K_u = K_2$.

Будем полагать, что температура компенсации доменосодержащего слоя значительно меньше температуры компенсации второго слоя. Чтобы найти температурную зависимость намагниченности насыщения информационного слоя $M_1(T)$, используем модель двухподрешеточного ферримагнетика и метод молекулярного поля, достаточно хорошо описывающие температурные свойства исследуемого класса соединений [4-5]. В этой модели ПМ-подрешетка считается намагниченной до насыщения сильным внутренним обменным полем (см. значения соответствующих параметров в [5], а РЗМ-подрешетка представляет собой парамагнетик, находящийся в поле H и молекулярном поле $\tilde{H}_M = \lambda \tilde{M}_F$ ($\lambda > 0$ - константа молекулярного поля), создаваемом ПМ-подрешеткой). Между подрешетками действует отрицательное обменное взаимодействие, благодаря которому вектора намагниченности ПМ- и РЗМ-подрешеток, \tilde{M}_F и \tilde{M}_R соответственно, являются антипараллельными вплоть до значений $H \leq 10^5$ Э [4-5]. Считая, что РЗМ-подрешетка находится в состоянии термодинамического равновесия с действующим на нее эффективным полем $\tilde{H}_{\text{эфф}} = H - \lambda \tilde{M}_F$, зависимость $M_R(H_{\text{эфф}})$ будем задавать функцией Бриллюэна B_j .

С учетом сделанных предположений нетрудно получить выражение для свободной энергии системы, приходящейся на единицу поверхности пленки. Варьируя функционал энергии, получим следующие уравнения, описывающие равновесное распределение намагниченности неоднородной ОФП

$$2A_1\theta'' - [K_1 - \chi(T)H^2] \sin 2\theta - M_1(T)H \sin \theta = 0, \quad -D_1 \leq z < 0, \quad (1)$$

$$2A_2\theta'' - K_2(z) \sin 2\theta - M_2 H \sin \theta = 0, \quad 0 \leq z \leq D_2 \quad (2)$$

с естественными граничными условиями и условием непрерывности решения на границе раздела слоев

$$\theta'(-D_1) = \theta'(D_2) = 0; \quad \theta(-0) = \theta(+0), \quad A_1\theta'(-0) = A_2\theta'(+0). \quad (3)$$

В (1)-(3) $\theta(z)$ - полярный угол вектора намагниченности ОФП, A_1 , A_2 и K_1 , $K_2(z)$ - обменные параметры и эффективные константы анизотропии слоев, $M_2 = \text{const}$ - намагниченность насыщения второго слоя. Кроме того,

$$M_1(T) = |M_F(T) - M_R(T)|, \quad M_R(T) = M_R(0)B_j(\alpha), \quad (4)$$

$$\alpha = \frac{\mu_R H_{\text{эфф}}}{kT} \Big|_{H=0}, \quad \chi(T) = -\frac{1}{2} \left(\frac{\partial M_R}{\partial H_{\text{эфф}}} - \frac{M_R}{H_{\text{эфф}}} \right) \Big|_{H=0}, \quad (5)$$

$M_F(T)$ - функция, слабо зависящая от T в рассматриваемом интервале температур [5], μ_R - магнитный момент иона РЗМ-подрешетки, j - полный механический момент электронной оболочки атома,

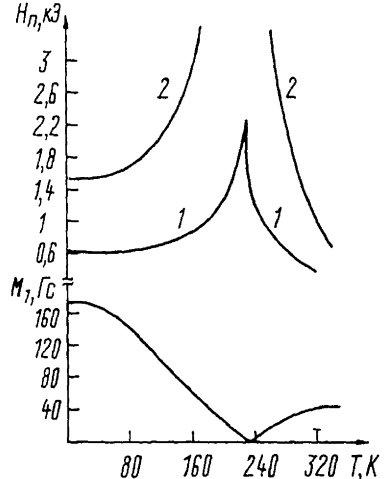
Рис. 1. Температурные зависимости намагниченности насыщения M_1 и поля перемагничивания ферримагнитной пленки. $K_1(T=0) = 1.36 \cdot 10^5$ эрг/см³, $K_2 = -1.36 \cdot 10^5$ эрг/см³, $M_2 = 176$ Гс, $T_K = 230$ К. 1 - двухслойная пленка, $D_0 = 0$, $D_2 = 300$ Å; 2 - однородная ферримагнитная пленка, $D_2 = 0$.

k - постоянная Больцмана. Уравнения (1)-(2) записаны для случая, когда $\vec{H} \parallel \vec{z}$.

Толщина рабочего слоя МО пленки составляет приблизительно 0.1 мкм, а типичные значения параметров следующие: $K_1 \approx 10^5$ эрг/см³, $A_1 \approx 10^{-7}$ эрг/см. Поскольку $D_1 \approx 0.1$ мкм, $\delta = \sqrt{A_1/K_1} \approx 0.01$ мкм и $D_1 \gg \delta$, будем полагать, что ориентация M_1 при $z = -D_1$ будет близка к его ориентации в однородной пленке. Поэтому положим $\theta(-D_1) = \pi$ (одно из двух возможных начальных состояний пленки при $\vec{H} \parallel \vec{z}$). Используя методику решений (1)-(3), изложенную в [3], можно определить температурные зависимости H_π (T) для различных значений параметров D_0 , D_2^* , K_2 , M_2 , характеризующих неоднородность пленки.

Чтобы получить конкретные результаты, необходимо задать численные значения полного набора параметров доменосодержащего слоя пленки, входящих в (1)-(2), (4)-(5). Учитывая результаты работы [5], мы положили $\lambda = 2750$, $M_R(0) = 530$ Гс, $M_F(0) = 350$ Гс, $A_1 = 3.4 \cdot 10^{-7}$ эрг/см, $M_B = 7 M_B$, где M_B - магнетон Бора. Кроме того, в расчетах использовалась зависимость $K_1(T)$, определенная в [6].

На рис. 1 представлены найденные в результате решения (1)-(3) зависимости H_π (T) и M_1 (T). Следует отметить два важных обстоятельства: во-первых, поле перемагничивания неоднородной ОФП при $T=T_K$ оказывается конечным по величине (в отличие от однослойных пленок, см. кривую 2 на рис. 1), во-вторых, на функцию H_π (T) существенное влияние оказывает структура неоднородного слоя. На рис. 2 показаны зависимости $H_K \equiv H_\pi(T=T_K)$ а) от толщины переходного слоя D_0 при $D_2 = \text{const}$ и б) от толщины второго слоя D_2 при $D_0 = 0$. Асимптотическое значение поля перемагничивания при $T=T_K$ и $D_2 \gg \delta = \sqrt{A_1/K_1}(H_K^*)$, приведенное на рис. 2, б, удается оценить аналитически на основе метода, предложенного в [7]. Записывая уравнение относительно $\theta_0 = \theta(z=0)$ для пленки с $K_1 > 0$; $T=T_K$; $D_{1,2} \gg \delta$; $D_0=0$ и определяя поле перемагничивания из условия $dH/d\theta_0 = 0$, получим



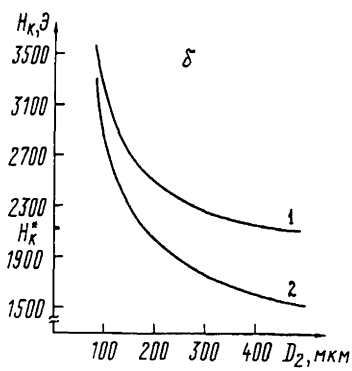
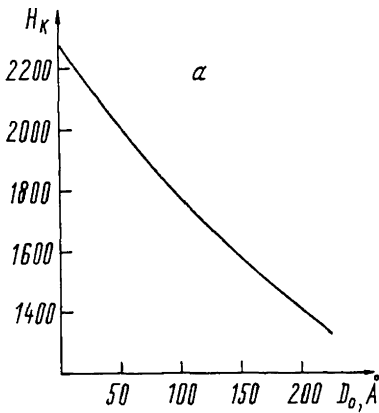


Рис. 2. Зависимость поля перемагничивания ОФП при температуре компенсации от параметров, характеризующих неоднородность пленки. а) $D_2 = D_o + D_o^* = 300 \text{ \AA}$; б) 1 - $D_o = 0$, 2 - $D_o : D_o^* = 0.5$.

$$H_K^* = \begin{cases} -\frac{2K_2}{M_2} \left(1 - \frac{K_1}{K_2}\right), & K_2 < \frac{K_1}{2} \\ \frac{2K_2}{M_2}, & K_2 > \frac{K_1}{2} \end{cases} \quad (6)$$

Таким образом, в работе показано, что температурные зависимости $H_H(T)$, определяющие условия термомагнитной записи, существенно изменяются при варьировании параметров неоднородного слоя пленки. Это означает, что использование многослойных пленок открывает новые возможности регулирования процесса термомагнитной записи информации, осуществляющейся в окрестности температуры компенсации.

Список литературы

- [1] Майклсон У.М. Магнитооптическая запись // ТИИЭР. 1986. Т. 74. № 11. С. 112-125.
- [2] Takeuchi A., Sichi E., Katao T. et al. // J. Appl. Phys. 1984. V. 55. N 6. P. 2164-2166.
- [3] Садков В.Б., Шматов Г.А., Крюков И.И., Филиппов Б.Н. Перемагничивание неоднородных по толщине магнитных пленок. Препринт № 88/5 ИФМ УрО АН СССР. Свердловск, 1988. 39 с.
- [4] Белов К.П., Звездин А.К., Кадомцева А.М., Левитин Р.З. Ориентационные переходы в редкоземельных магнетиках. М.: Наука, 1979. 317 с.

- [5] Hasegawa R., Argyle B.E.,
Tao L.-J. // AIP Conf. Proc. 1975. N 25. P. 110-112.
- [6] Kobliska R.J., Canquilec A.,
Cox D.E., Bajorek C.H. // IEEE Trans.
Magn. 1977. V. 13. N 6. P. 1767-1772.
- [7] Hagedorn F.B. // J. Appl. Phys. 1970.
V. 41. N 6. P. 2491-2502.

Институт физики металлов
УО АН СССР, Свердловск

Поступило в Редакцию
6 августа 1990 г.

Письма в ЖТФ, том 16, вып. 21

12 ноября 1990 г.

06.3; 07

© 1990

ОПТИМАЛЬНАЯ ГЕОМЕТРИЯ РЕШЕТОЧНОГО
ЭЛЕМЕНТА ВВОДА СВЕТА
В ОПТИЧЕСКИЙ ВОЛНОВОД

М.С. Климов, В.А. Сычугов,
А.В. Тищенко

Развитие микроэлектроники идет по пути замены электрических связей между электронными типами оптическими. Необходимыми элементами таких связей являются оптические волноводы, возбуждаемые внешним лазерным пучком света с помощью дифракционной решетки на поверхности этого волновода. Для эффективного возбуждения такого волновода необходимо выполнить некоторые условия [1]:

$$\alpha \cdot w = 0.68 \quad \alpha \cdot x_0 = 0.5, \quad (1)$$

где w – полуширина возбуждающего пучка света с гауссовым распределением амплитуды поля, x_0 – смещение центра пучка от края решетки и α – амплитудный коэффициент излучательных потерь в гофрированном волноводе. При совпадении направлений распространения волноводной моды и вектора решетки реализация этих условий достаточна для достижения максимума эффективности возбуждения, однако в общем случае это не так. Рассмотрим векторную диаграмму процесса возбуждения волновода гауссовым пучком света с помощью решетки, волновой вектор которой равен k ($|k| = 2\pi/\lambda$), представленную на рис. 1. На этой диаграмме пунктирной линией представлено поперечное сечение падающего пучка света на поверхности волновода, а также положение границы решетки относительно возбуждающего пучка света. Через ψ обозначен угол между нормалью к границе решетки и плоскостью падения, а через φ – угол между нормалью и направлением распространения волноводной